

# Rapport du TP1-MS02 Homogénéisation Périodique

Bréhima Samaké

September 2024

## 1 Condition de Neumann:

Soit  $\Omega$  un ouvert borné à frontière polygonale de  $\mathbb{R}^2$ , et  $A$  un tenseur uniformément borné. Il existe une constante  $C > 0$  telle que, pour tout  $(x, y) \in \Omega$  et pour tout  $i, j$ , on ait :

$$|A_{ij}(x, y)| \leq C.$$

De plus,  $A$  satisfait l'hypothèse de coercivité uniforme :

Il existe une constante  $C > 0$  telle que, pour tout  $(x, y) \in \Omega$  et pour tout  $\xi \in \mathbb{R}^2$ , on ait :

$$A(x, y)\xi \cdot \xi \geq C\|\xi\|^2.$$

Soit  $f \in L^2(\Omega)$ . Nous nous intéressons à la résolution numérique du problème de Poisson avec coefficients variables et condition aux limites de Neumann :

Trouver  $u \in H^1(\Omega)$  telle que :

$$\begin{cases} -\nabla \cdot (A(x, y)\nabla u) = f & \text{dans } \Omega, \\ A(x, y)\nabla u \cdot n = 0 & \text{sur } \partial\Omega, \end{cases} \quad (1)$$

Soit  $u \in H^1(\Omega)$  telle que  $\forall v \in H^1(\Omega)$  :

$$\int_{\Omega} uv d\Omega - \nabla \cdot (A(x, y)\nabla u)vd\Omega = \int_{\Omega} fvd\Omega \text{ dans } \Omega$$

En utilisant la formule de Green et tenant compte de la condition au bord on a :

$$\int_{\Omega} uv d\Omega + \int_{\Omega} A(x, y)\nabla u \nabla v d\Omega = \int_{\Omega} fvd\Omega$$

Le problème trouver  $u \in H^1(\Omega)$  tg

$$\begin{cases} \forall v \in H^1(\Omega) \\ a(u, v) = L(v) \\ a(u, v) = \int_{\Omega} uv + \int_{\Omega} A(x, y)\nabla u \cdot \nabla v \text{ et} \\ l(v) = \int_{\Omega} fv \end{cases}$$

Par le theoreme de Lax-Milgram on peut montrer que le problème (1) est bien posé.

Trouver  $u_h \in V_h, \forall v_h \in V_h$ ,

$$a(u_h, v_h) = L(v_h) \Leftrightarrow \forall j \in \{1, \dots, N\}, a(u_h, w_j) = L(w_j)$$

$$u_h = \sum_{i=1}^N u_h(S_i)w_i$$

$$\forall j, \sum_{i=1}^N u_h(S_i)a(w_i, w_j) = L(w_j) \text{ donc } A_{ij} = a(w_i, w_j) \text{ et } \mathbb{L} = L(w_j)$$

$$A_{ij} = \int_{\Omega} A(x, y) \nabla w_i \cdot \nabla w_j + \int_{\Omega} w_i w_j \text{ et } \mathbb{L} = \int_{\Omega} f w_j$$

$$\mathbb{M} = \int_{\Omega} w_i w_j, \quad \mathbb{K} = \int_{\Omega} A(x, y) \nabla w_i \cdot \nabla w_j \text{ et } (\mathbb{M} + \mathbb{K})U = \mathbb{L}, \text{ avec } U = \begin{pmatrix} u_h(S_1) \\ u_h(S_2) \\ \vdots \\ u_h(S_I) \end{pmatrix}$$

On considère pour l'instant le cas  $A(x, y) = 1$

Pour calculer les matrices élémentaires sur un triangle, on peut utiliser les formules ci-dessous:

$$\int_{\Omega} F = \frac{\text{aire}(T_1)}{3} (F(\frac{S_1+S_2}{2}) + F(\frac{S_1+S_3}{2}) + F(\frac{S_2+S_3}{2})) \text{ c'est le cas de dimension 2}$$

Avec cette formule on peut calculer la matrice élémentaire  $\mathbb{M}$ :

$$\mathbb{M}_{ij} = \int_{T_l} w_i w_j = \begin{cases} \frac{\text{aire}(T_l)}{12} & \text{si } i = j, \\ \frac{\text{aire}(T_l)}{24} & \text{si } i \neq j. \end{cases}$$

Dans ce TP1, on a  $D = x_{33}y_{31} - x_{31}y_{33}$  où  $x_{ij} = x_i - x_j$  et  $|D| = 2 \cdot \text{aire}(T_l)$

$$\mathbb{K} = \int_{\Omega} \nabla w_i \cdot \nabla w_j = \text{aire}(T_l) B \cdot B^T, \quad B = \begin{pmatrix} y_{33} & x_{32} \\ y_{31} & x_{13} \\ y_{12} & x_{21} \end{pmatrix}$$

**Le calcul du second membre:**

$$l(v_h) = \int_{\Omega} \pi_h(f) v_h d\Omega$$

C'est à dire

$$L_i = \int_{\Omega} \pi_h(f) w_i d\Omega = \int_{\Omega} \sum_{i=1}^N f(S_i) w_i w_i d\Omega = \sum_{i=1}^N f(S_i) \int_{\Omega} w_i w_i d\Omega = (\mathbb{M}F)_i$$

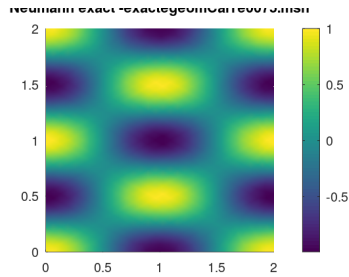
**Validation:**

Soit

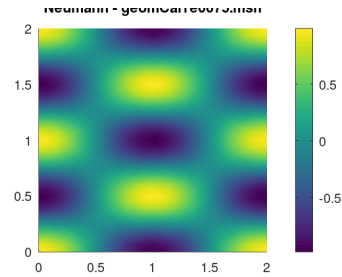
$$u(x, y) = \cos(\pi x) \cos(2\pi y) \text{ pour } (x, y) \in \Omega^2.$$

Avec le second membre

$$f(x, y) = (1 + 5\pi^2) \cos(\pi x) \cos(2\pi y), \quad h = 0.075.$$



(a) Résultat exact avec conditions de Neumann



(b) Résultat approché avec conditions de Neumann

Figure 1: Comparaison des résultats exact et approché avec conditions de Neumann

Pour  $A(x, y) = A(nx, ny)$  avec  $n = 2, 4, 8, 16, 32$ , on a

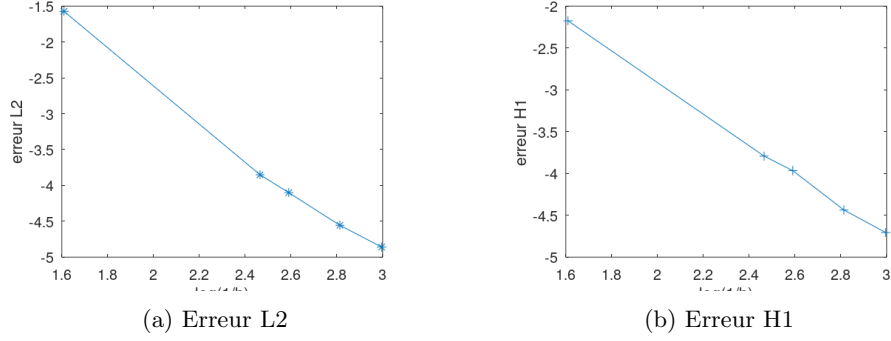


Figure 2: Erreur L2 et Erreur H1 .

On observe bien que les erreurs  $L^2$  et  $H^1$  diminuent avec le pas du maillage (h).ici on observe une convergence en  $O(h^2)$  pour les deux erreurs. Cela correspond à la convergence théorique de l'erreur  $L^2$  . Pour l'erreur  $H^1$  on s'attendrait plutôt à une convergence en  $O(h)$  .Idem pour A variable

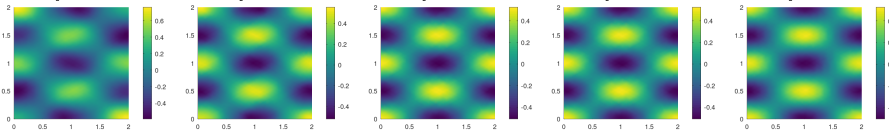


Figure 3:  $A(x,y) = A(nx, ny)$  avec  $n=2, 4, 8, 16, 32$   
On obtient les memes choses

On considère maintenant le cas général  $A = A(x, y)$ .

$$\int_{\Omega} F d\Omega \approx \sum_{q=1}^N w_l^q F(M_l^q)$$

En effectuant le changement de variable  $M = F_l(\hat{M})$  .L'intégrale sur  $T_l$  devient :

$$\int_{T_l} A(M) \nabla w_I(M) \cdot \nabla w_J(M) d\Omega = \int_{T_l} A(F_l(\hat{M})) [dF_l(\hat{M})^T]^{-1} \nabla \hat{w}_I(\hat{M}) \cdot [dF_l(\hat{M})^T]^{-1} \nabla \hat{w}_J(\hat{M}) |det dF_l(\hat{M})| d\Omega$$

Ou  $dF_l(\hat{M})$  est la matrice jacobienne  $\hat{M}$ . Après avoir determiner  $F_l$  ona :

$$F_l(x, y) = \frac{1}{D} \begin{pmatrix} y_{31} & x_{13} \\ y_{12} & y_{21} \end{pmatrix} + \begin{pmatrix} x_0 \\ y_0 \end{pmatrix}$$

**Validation:**

On teste avec  $A = I$ .

$\hat{M}_q$	$(\frac{1}{3}, \frac{1}{3})$	$(\frac{1}{5}, \frac{1}{5})$	$(\frac{1}{5}, \frac{3}{5})$	$(\frac{3}{5}, \frac{1}{5})$
$\hat{w}_q$	$-\frac{9}{32}$	$\frac{25}{96}$	$\frac{25}{96}$	$\frac{25}{96}$

Table 1: Les points et les poids de Quadrature de Gauss Lobato

Le second membre est donné par :

$$f(x, y) = \cos(\pi x) \cos(2\pi y) + 10\pi^2 \cos(2\pi y) \cos(\pi x) + \pi^2 \sin(4\pi y) \cos(2\pi x) \sin(\pi x) \\ + 9\pi^2 \cos(2\pi y) \sin(2\pi y) \cos(\pi x) \sin(2\pi x)$$

La solution exacte est  $u(x, y) = \cos(\pi x) \cos(2\pi y)$  et  $h = \frac{1}{16}$ .

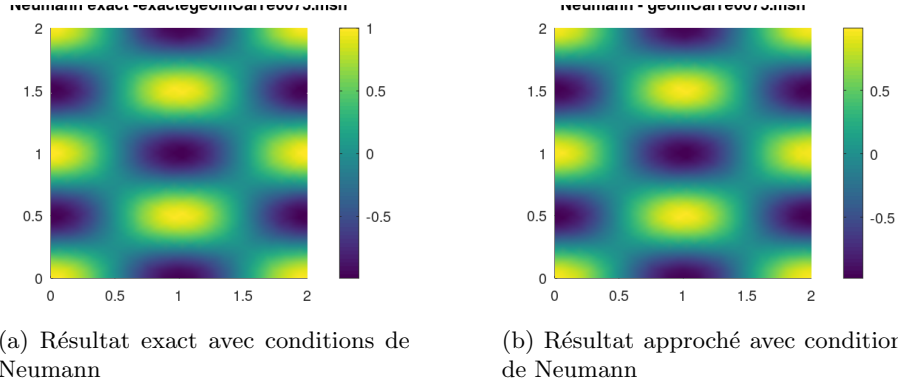


Figure 4: Comparaison des résultats exact et approché avec conditions de Neumann

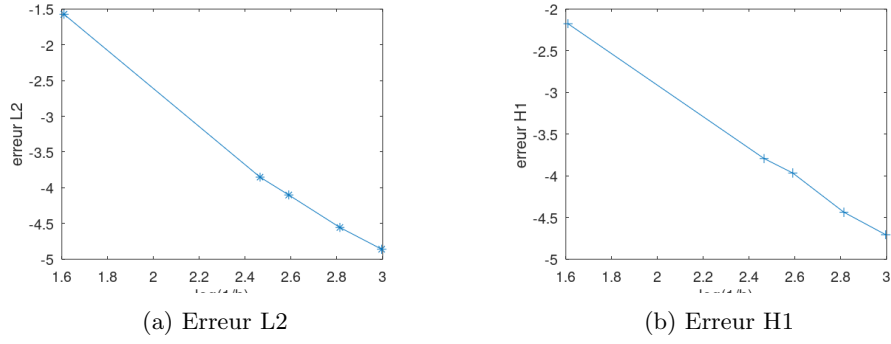
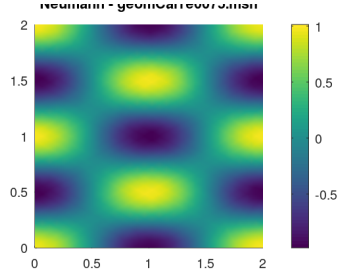
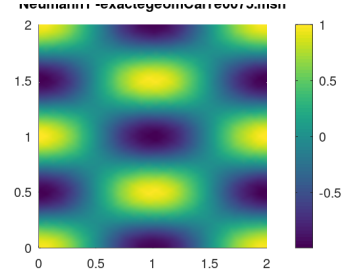


Figure 5: Erreur L2 et Erreur H1

On teste avec  $A = \sin(2\pi x) \sin(2\pi y) + 2$ .

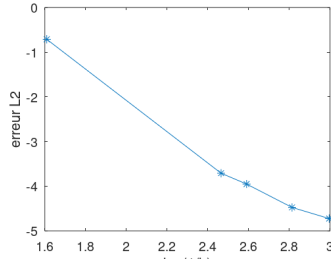


(a) Résultat exact avec conditions de Neumann

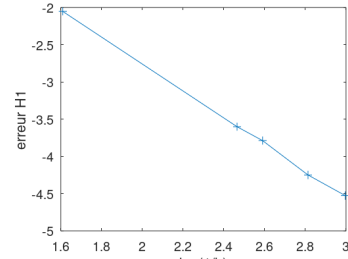


(b) Résultat approché avec conditions de Neumann

Figure 6: Comparaison des résultats exact et approché avec conditions de Neumann  $A = \sin(2\pi x) \sin(2\pi y) + 2$



(a) Erreur L2



(b) Erreur H1

Figure 7: Erreur L2 et Erreur H1  $A = \sin(2\pi x) \sin(2\pi y) + 2$

## 2 Condition de Dirichlet:

On s'intéresse maintenant à la résolution numérique du problème de Poisson avec condition aux limites de Dirichlet:

Trouver  $u \in H_0^1$  tq:

$$\begin{cases} u - \nabla \cdot (A \nabla u) = f & \text{dans } \Omega, \\ u = 0 & \text{sur } \partial\Omega, \end{cases} \quad (2)$$

Soit  $v \in H_0^1$

$$\int_{\Omega} uv + \int_{\Omega} \operatorname{div}(A(x, y) \nabla u) v = \int_{\Omega} f v$$

Par la formule de Green et condition au bord on a la formulation variationnelle suivante:

$$\int_{\Omega} uv \, d\Omega + \int_{\Omega} A(x, y) \nabla u \cdot \nabla v \, d\Omega = \int_{\Omega} f v \, d\Omega$$

De même par le théorème de Lax-Milgram le problème (2) est bien posé.

Comme dans la partie précédente on peut déterminer de la même façon la formulation variationnelle, on obtient :

$$\mathbb{A}^0 = (\mathbb{M}^0 + \mathbb{K}^0)\mathbb{U}^0 = \mathbb{L}^0$$

$$\mathbb{M}_{ij}^0 = \int_{\Omega} A(x, y) \nabla w_i \cdot \nabla w_j, \mathbb{K}_{ij}^0 = \int_{\Omega} w_i w_j \text{ et } \mathbb{L} = \int_{\Omega} f w_j$$

Introduisons une matrice  $\mathbb{P}$  qui envoie  $V_h$  dans  $V_h^0$ , on a:

$$\mathbb{A}^0 = \mathbb{P} \mathbb{A} \mathbb{P}^T$$

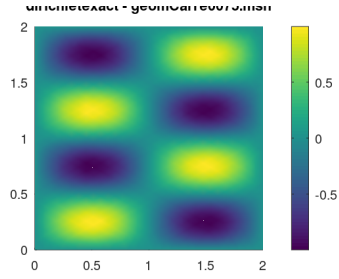
**Validation:**

$A$  est une matrice identité et

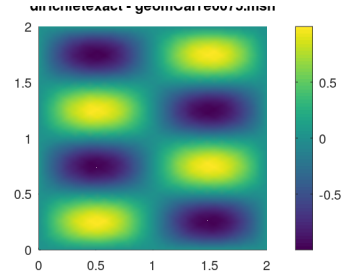
$$u_{\text{exact}}(x, y) = \sin(\pi x) \sin(2\pi y) \text{ et } h = 0.075$$

Avec le second membre

$$f(x, y) = (1 + 5\pi^2) \sin(\pi x) \sin(2\pi y)$$

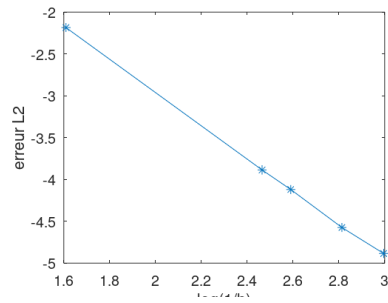


(a) Résultat exact avec conditions de Dirichlet

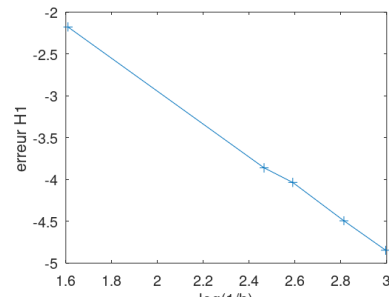


(b) Résultat approché avec conditions de Dirichlet

Figure 8: Comparaison des résultats exact et approché avec conditions de Dirichlet



(a) Erreur L2



(b) Erreur H1

Figure 9: Erreur L2 et Erreur H1

### 3 Condition périodique:

Soit  $\Omega = [0, L]^2$  un carré de taille  $L$ . On s'intéresse à la résolution numérique du problème Poisson avec condition aux limites périodique et coefficients variables : trouver  $u \in H^1(\Omega)$  telle que

$$\begin{cases} u - \nabla \cdot (A(x, y) \nabla u) = f & \text{dans } \Omega, \\ u|_{x=0} = u|_{x=L} = u|_{y=0} = u|_{y=L} \\ A(x, y) \nabla u \cdot e_x|_{x=0} = A(x, y) \nabla u \cdot e_x|_{x=L}, \\ A(x, y) \nabla u \cdot e_y|_{y=0} = A(x, y) \nabla u \cdot e_y|_{y=L} \end{cases} \quad (3)$$

Pour la formulation variationnelle, il suffira de faire comme précédente  
 $\forall u \in H_{\#}^1(\Omega)$  et  $\forall v \in H_{\#}^1(\Omega)$

$$\int_{\Omega} uv - \int_{\Omega} \text{div}(A(x, y) \nabla) v = \int_{\Omega} f v$$

D'après la formule de Green et les conditions périodiques, on a la formulation variationnelle:

$$\int_{\Omega} uv + \int_{\Omega} A(x, y) \nabla u \nabla v = \int_{\Omega} f v$$

Comme  $H_{\#}^1(\Omega)$  muni de la norme  $\|\cdot\|_{H^1(\Omega)}$  est un espace de Hilbert, alors par le théorème de Lax-Milgram le problème (3) est bien posé.

#### Solution discrétisée:

En étendant la technique pour les conditions de Dirichlet aux conditions périodiques, nous pouvons construire la matrice de projection  $\mathbb{P}$  qui envoie  $V_h$  dans  $V_h^{\#}$ .

On a

$$\mathbb{A}^{\#} = \mathbb{P} \mathbb{A} \mathbb{P}^T, \mathbb{L}^{\#} = \mathbb{P} \mathbb{L} \text{ et } \mathbb{U} = \mathbb{P}^T \mathbb{U}^{\#}$$

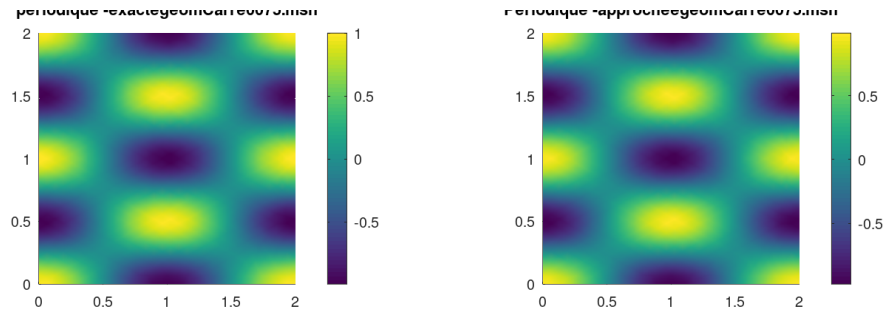
#### Validation:

$A$  est une matrice identité et

$$u_{\text{exact}}(x, y) = \cos(\pi x) \cos(2\pi y) \text{ et } h = 0.075$$

Avec le second membre

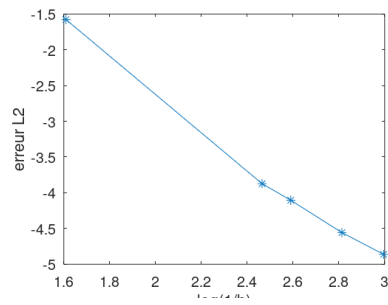
$$f(x, y) = (1 + 5\pi^2) \cos(\pi x) \cos(2\pi y)$$



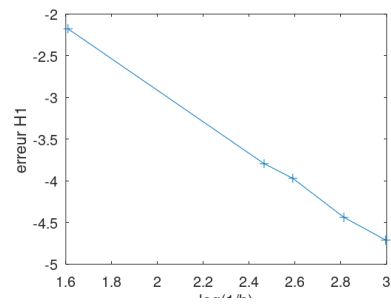
(a) Résultat exact avec conditions Périodique

(b) Résultat approché avec conditions Périodique

Figure 10: Comparaison des résultats exact et approché avec conditions périodique



(a) Erreur L2



(b) Erreur H1

Figure 11: Erreur L2 et Erreur H1